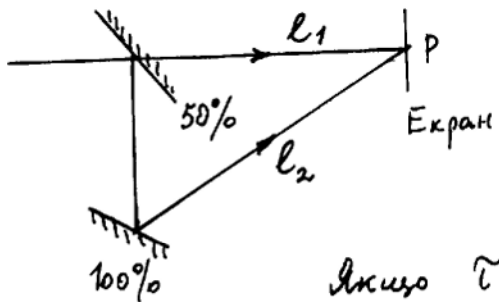


Когерентність світла

К.с.-характеристика чистоти структури світла, ступінь надлишкості світла. пове до ідеальної гармонічної хвилі. К.с. - здатність світла до інтерференції.

Розрізняють 2 види когерентності - просторову і часову.

Часова когерентність. Час когерентності.



Відхилення когерентності.

Для інтерф. в т. Р двох вимірювань необхідно, щоб

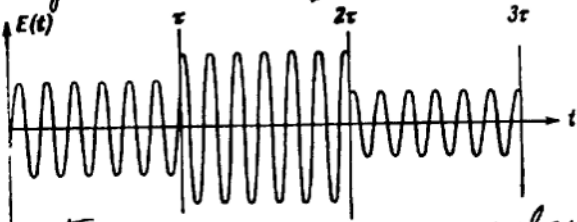
$$\varphi_1(t_1) - \varphi_2(t_1 + \tau_{\text{затр}}) = \text{const}$$

весь час спостереження.

Якщо τ -час спостереж. и. д. буде великим, то $\frac{\text{затр}}{\text{частота}}$ 100% когерентність у часі. Якщо величина τ обмежена, то матимуться втрати когерентності.

Час когерентності - $\bar{\tau}_K$: $|\varphi_1(t_1) - \varphi_2(t_1 + \bar{\tau}_K)| \leq \pi$

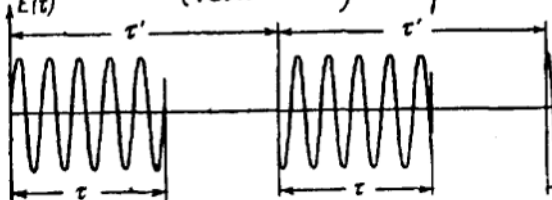
Через непомехр. світла ідеальної часової когер. ($\bar{\tau}_K \rightarrow \infty$) немає. При випромінюванні світла ізольованими атомами вигідніється чут. хвиль. Час випромінювання 1-го



Приклад хаотично початого зовнішнього (теплового) випромінювання

На погляд когерентні

чут. випадково змі-
нюються фаза і амп.
комбін.



Тоді $\bar{\tau}_K \sim 10^{-8} \text{ с}$

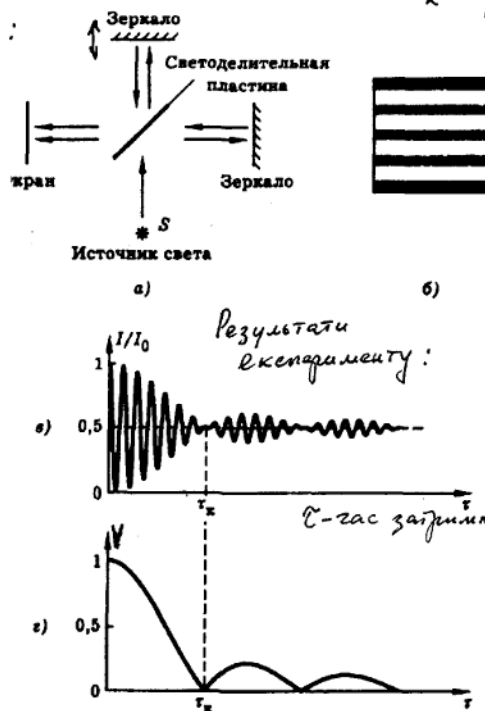
(видав. Клас.
Теорія випромі-
нення т.).

Ускладнена модель комбін. опт. електротока

Це один спосіб поглинання часу когерентності: τ_K - це час затримки, необхідний променю, щоб пройти відстань, рівну різниці ходу променів - $\tau_K = \frac{\Delta}{c}$

$$1) \Delta = \tau_K \cdot c = 10^{-8} \cdot 3 \cdot 10^8 = 3 \text{ м} \quad \text{для теплових джерел}$$

Інтерферометр Майкельсона:



$$\Delta = L_K - довжина когерентності:$$

Треба брахувати ще зіткнення атомів, рух атомів тощо.

$$\text{Тоді } \tau_K \approx 10^{-9} \div 10^{-10} \text{ с.}$$

$$L_K = 3 \div 30 \text{ см}$$

$$2) \text{Для лазерів } \Delta V = 10^{-2} \text{ с}$$

$$\text{Тоді } \tau_K = 10^{-2} \text{ с}$$

$$L_K = 10^6 \text{ м!}$$

Реально на лазерах вдається спостерігати інтерф. при $\Delta \approx$ декілька см.

Обмеження - за рахунок неоднорідності земної атмосфери та вібрацій.

Інтерференція може спостерігатись у випадку, коли

$$\Delta \leq L_K$$

3) Виклик монохроматичності світла на часову когерентність променів

Джерелом світла будемо вважати збуджений ізольований атом.

Рівнення осциляції: $m\ddot{x} + kx + \gamma\dot{x} = 0$

$$\ddot{x} + \omega_0^2 x + \gamma \dot{x} = 0$$

Розв'язок: $x = x_0 e^{-\frac{\gamma}{2}t} \cdot e^{i\omega t}$, де $\omega = \sqrt{\omega_0^2 - \frac{\gamma^2}{4}}$

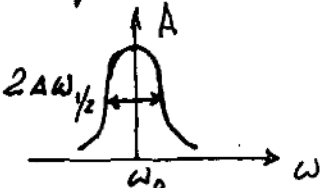
В курсі механіки при розв'язці АЧХ було сказано доведено, що широка рег. кр. на частоті $\Delta\omega_{1/2}$ (2Δω_{1/2}) зб'єднає з γ-декрементом затухання

$$\Delta\omega_{1/2} = \gamma.$$

Крім того, $\gamma = 1/\tau$, де τ - час релаксації.

Тому: $\frac{\Delta\omega_{1/2}}{\Delta\omega_{1/2}} \cdot \tau = 1 \Rightarrow$ Монокроматичність світла більша ($\Delta\omega_{1/2}$ менша) у тих хвилях, у яких тривалість чуття більша ($\tau \uparrow$).

В нашому випадку $\Delta\omega_{1/2}$ - радіаційна (природна) широка лінійка випромін. ($\sim 10^6$ Гц)



$$\tau \cdot \Delta\lambda = \frac{1}{2\pi}$$

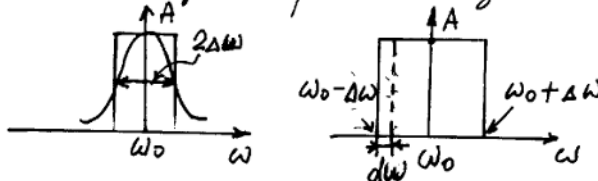
$$\lambda = \frac{c}{\nu} \Rightarrow \Delta\lambda = \frac{c}{\nu^2} \cdot \Delta\nu$$

$$\Delta\lambda \sim 10^{-3} \text{ Å}$$

$$m_{\max} = \frac{\lambda}{\Delta\lambda} = \frac{5 \cdot 10^3}{10^{-3}} = 5 \cdot 10^6 \text{ см}^{-2}$$

Але при цьому не враховувалася: 1) атом не ізольований: відбуваються зіткнення і ущирення $\Delta\omega_{1/2} \sim 10$ МГц; 2) атом рухається \Rightarrow ефект Доплера $\Rightarrow \Delta\omega_{1/2} \sim 1500$ МГц - осн. чинник в ущиренні спектр. лінії; 3) є інші механізми ущирення: ефект Зеемана та еф. Штарка \Rightarrow розширення спектр. лінії.

Відмінно джерело, в якому міняє вираженість
закінчена промежутком з ω_0 та найвищим рівнем



Універсальність джерела, яке має мінімальне вираженість.
У вигляді промежутка ширинкою $2\Delta\omega$, додіблює $\frac{Y_0}{\Delta\omega_{1/2}} \cdot d\omega$. Для 2-х інтерференції:

$$Y = Y_1 + Y_2 + 2\sqrt{Y_1 Y_2} \cdot \cos \Delta\varphi$$

$$\Delta\varphi = k \cdot \Delta = \frac{2\pi}{\lambda_0} (r_2 - r_1)$$

$$Y = 2Y_0 (1 + \cos k \cdot \Delta) , \text{ якщо } Y_1 = Y_2$$

$$Y = \frac{2Y_0}{\Delta\omega_{1/2}} \cdot d\omega (1 + \cos \frac{\omega}{C} \cdot \Delta) = \frac{2Y_0}{\Delta\omega_{1/2}} (1 + \cos \omega \tilde{\tau}_k) d\omega$$

$$Y = \int_{\omega_0 - \Delta\omega}^{\omega_0 + \Delta\omega} 2 \frac{Y_0}{\Delta\omega_{1/2}} (1 + \cos \omega \tilde{\tau}) d\omega = 2Y_0 + \frac{2Y_0}{\Delta\omega_{1/2}} \cdot \frac{1}{\tilde{\tau}} \sin \omega \tilde{\tau} \Big|_{\omega_0 - \Delta\omega}^{\omega_0 + \Delta\omega}$$

$$= 2Y_0 + \frac{2Y_0}{\tilde{\tau} \Delta\omega_{1/2}} [\sin(\omega_0 + \Delta\omega) \tilde{\tau} - \sin(\omega_0 - \Delta\omega) \tilde{\tau}] =$$

$$= 2Y_0 \left(1 + \frac{2}{\Delta\omega_{1/2} \cdot \tilde{\tau}} \sin \frac{\Delta\omega_{1/2} \cdot \tilde{\tau}}{2} \cdot \cos \omega_0 \tilde{\tau} \right) =$$

$$= 2Y_0 \left(1 + \frac{\sin \left(\frac{1}{2} \Delta\omega_{1/2} \cdot \tilde{\tau} \right)}{\frac{\Delta\omega_{1/2} \cdot \tilde{\tau}}{2}} \cdot \cos \omega_0 \tilde{\tau} \right)$$

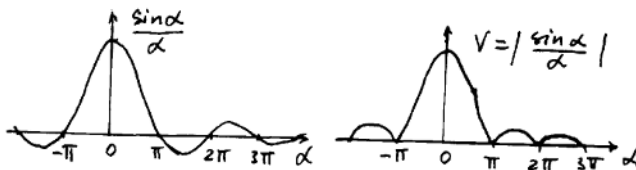
V - будь-якість інтерфер. картини:

$$V = \frac{Y_{\max} - Y_{\min}}{Y_{\max} + Y_{\min}}$$

$$Y_{\max} = 2Y_0 (1 + \sin \alpha / \Delta) \\ Y_{\min} = 2Y_0 (1 - \sin \alpha / \Delta)$$

$$V = \frac{\sin \alpha}{\Delta} \neq 1,$$

хоча $Y_1 = Y_2$!



Погідка закономірності характеристика і для інших контурів складаної лінії випромінювання

$$\frac{\Delta \omega_{1/2} \cdot T}{2} = \pi \Rightarrow \Delta \nu_{1/2} \cdot T = 1 \Rightarrow T = \frac{1}{\Delta \nu_{1/2}}$$

T - час затримки одного цикла відносно іншого

$$\Delta \nu_{1/2} = \Delta \nu_{\text{зіткн}} + \Delta \nu_{\text{пру.}} + \Delta \nu_{\text{доп.}} + \dots \Rightarrow \ll 10^{-8}$$

$$L_K = c \cdot T_K = c \cdot \frac{1}{\Delta \nu_{1/2}} = \frac{c}{\frac{c}{\lambda^2} \cdot \Delta \lambda_{1/2}} = \frac{\lambda^2}{\Delta \lambda_{1/2}} - \text{довж. когер.}$$

Все спостереження інтерфер. недоподійко, щоб

$$\Delta < L_K = \frac{\lambda^2}{\Delta \lambda_{1/2}} \quad \text{Приклад:}$$

$$\Delta \lambda = 100 \text{ \AA} ; \lambda = 5000 \text{ \AA} \Rightarrow L_K = 25 \text{ мкм}$$

Максимальний позначок інтерференції (m_{\max}) обумовлений тає різницюю ходу: $\Delta_{\max} = L_K$

$$m_{\max} \cdot \lambda = \frac{\lambda^2}{\Delta \lambda} \Rightarrow m_{\max} = \frac{\lambda}{\Delta \lambda}$$

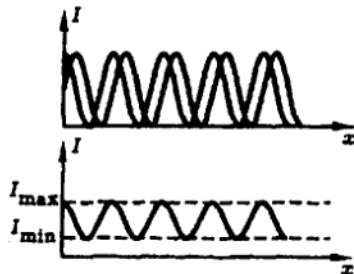
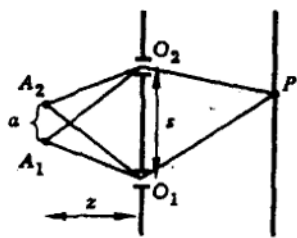
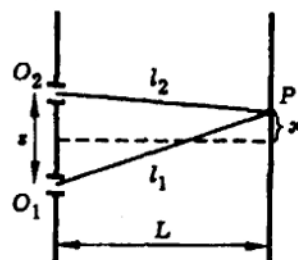
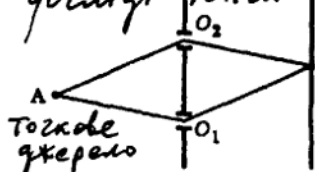
Це раз про виднаглике часу когерентності:

Часову когерентність якісно можна виднаграти, як інтервал часу, на протязі якого фаза хвильового руху послідовно змінюється передбаченим шинам при проходженні хвилі фіксованої точки простору.

Більше кількісно T_K виднагається як період часу, на протязі якого випадкові зміни фази хвилі в даній точці простору досягають значення порядку π .

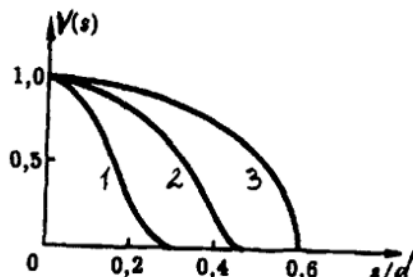
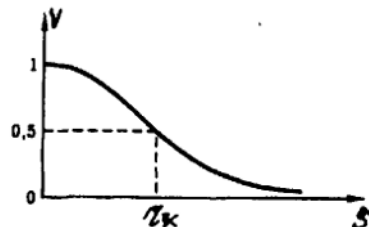
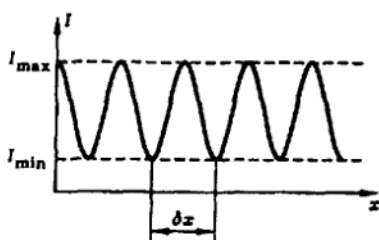
Просторова когерентність

1. Результати експерименту. Як розмір джерела в досліді Юнга впливає на видимість інтерфер. картини:



a)

б)



d - діаметр лазерного променя

1, 2, 3 - відноситься до різних типів лазерів

Пространство корреспонденций чистого состояния Ω нарат, не пижмы и пыг комбинации пижмых падинов бзг тих тонкак спектр не заменяется big наци 'е бенре -

ното читано.

$$\begin{array}{l} \text{Он. корреспондент} \\ \text{и} \\ A \quad A' \\ \downarrow \quad \downarrow \\ B \quad B' \\ \downarrow \quad \downarrow \end{array}$$

$$\varphi(A) - \varphi(A') =$$

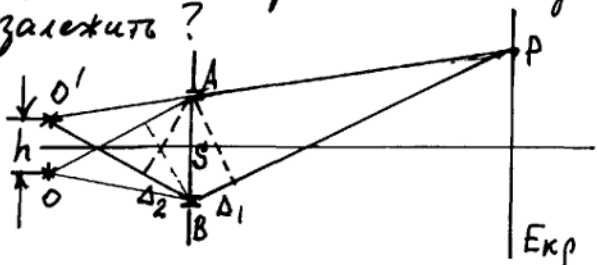
$$= \varphi(B) - \varphi(B') = \text{const}$$

Оба пижма, но звуком: Басуне

погружение в звуки изображения настепенности изображения (имея видоизмененную струкцию мономорфизмов; но с! читаны) изображение изображения корреспонденции.

Умова просторової когерентності

Якими повинні бути розміри джерела, щоб інтерф. картина спостерігалась? Від яких параметрів це залежить?



S - відстань між отворами A та B

$$\Delta_1 < L_K = \frac{\lambda^2}{\Delta \lambda}$$

При зміщенні джерела з т.О в т.О' на відстань h з'являється додаткова різниця ходу Δ_2

$$Y = Y_1 + Y_2 + 2\sqrt{Y_1 \cdot Y_2} \cdot \cos k(\Delta_1 + \Delta_2)$$

На екрані спостерігаються 2 інтерф. картини.

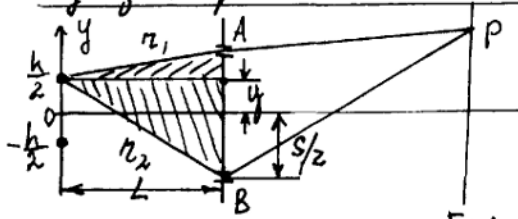


Коли $\Delta_2 \cdot K = \pi$ картина зникає (потім знову з'являється).

$$\Delta_2 \cdot K \equiv \Delta_2 \cdot \frac{2\pi}{\lambda} < \pi$$

$\boxed{\Delta_2 < \frac{\lambda}{2}}$ - умова спостереження інт. картини від джерела довжиною h

Як розподіляється інтенсивність в інт. картині у випадку застосування не точкового (з кінематичним розширенням)



Y_0 - інтенс. джерела висотою h джерела

Розподілення інтенс. джерела на смуги ширини dy

$\frac{Y_0 \cdot dy}{h}$ - інт. випром., яко випромінюється смужкою dy

Через отвори A та B проходить світло, яке має початкову різницю фаз $\Delta\psi = \Delta_1 \cdot k$

Універс. світла б т. Р виглядає

$$dY_p = K_1 \frac{y_0}{h} dy + K_2 \frac{y_0}{h} dy + 2\sqrt{K_1 \cdot K_2} \frac{y_0}{h} \cos(k\Delta_1 + k\Delta_2) dy$$

$\frac{h}{2}$ інтенс. біг A $\frac{h}{2}$ інтенс. біг B

$$Y_p = \int_{-\frac{h}{2}}^{\frac{h}{2}} dY_p \quad \begin{cases} r_1^2 = L^2 + \left(\frac{S}{2} - y\right)^2 \\ r_2^2 = L^2 + \left(\frac{S}{2} + y\right)^2 \end{cases}$$

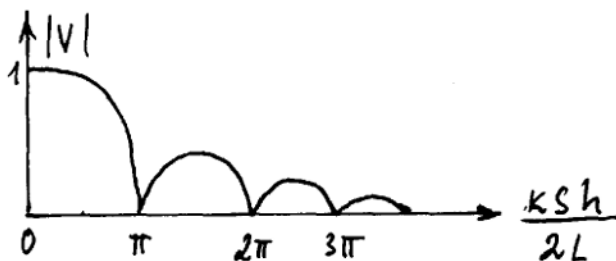
$$(r_2 - r_1)(r_2 + r_1) = 2Sy \Rightarrow \Delta_2 = \frac{S \cdot y}{L}$$

$$Y_p = \int_{-\frac{h}{2}}^{\frac{h}{2}} dY_p = Y_1 + Y_2 + 2\sqrt{K_1 \cdot K_2} \cdot \frac{y_0}{h} \int_{-\frac{h}{2}}^{\frac{h}{2}} \cos(k\Delta_1 + k \frac{S \cdot y}{L}) dy$$

$$= Y_1 + Y_2 + 2\sqrt{K_1 \cdot K_2} \cdot \frac{y_0 \sin(kSh/2L)}{kSh/2L} \cdot \cos k\Delta_1,$$

$$V = \frac{Y_{\max} - Y_{\min}}{Y_{\max} + Y_{\min}}$$

$$V = \frac{\sin \frac{kSh}{2L}}{\frac{kSh}{2L}}$$



$$1) V = 0 \text{ при } \frac{kSh}{2L} = \pi$$

$$K = \frac{2\pi}{\lambda} \Rightarrow \frac{kSh}{2L} = \frac{2\pi Sh}{2\lambda L} = \pi \Rightarrow \frac{S \cdot h}{\lambda \cdot L} = 1 \Rightarrow$$

При цьому, якщо $\frac{S \cdot h}{L} = 1$ - інтерференції не має.

$$2) \text{ Якщо } \frac{kSh}{2L} = \frac{\pi}{2}, \text{ тоді } V = \frac{2}{3}$$

При $y_1 = y_2$: в цьому випадку $V \approx 70\%$

$$\frac{S \cdot h}{L} < 1$$

Умова просторової когерентності:

Реальні дистанції міжко вважають великими, якщо $Sh/L \ll \lambda$

$$\frac{h}{L} = d - \text{кутовий}\newline \text{розмір джерела} \Rightarrow S \cdot d < \lambda$$

Числа
просторової
кохерентності.

$S < \frac{\lambda}{d}$ - чиства дія відстані між шільниками

Висновки:

1. Обираючи більшу λ , можна працювати з більшими розмірами джерела (h) і з більшими величинами S .
2. Чим менша відстань L між джерелом і шільниками, тим менший розмір джерела повинен бути меншим.
3. Чим більша відстань S між шільниками, тим меншим повинен бути розмір джерела (h).
4. Величина джерела дає вигран у світлосній, але - програн у просторової кохерентності.
5. Вводять поняття: радіус кохерентності - це радіус періду праці, в межах якого виконується чиства просторової кохерентності

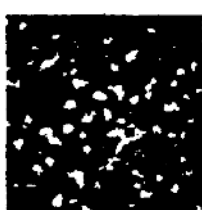
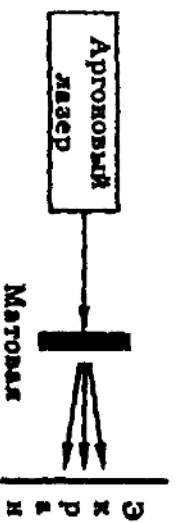
$$r_K = \frac{\lambda \cdot L}{h}$$

L - відстань від джерела світла до т. спостереження;
 h - розмір джерела; λ - довж. світлової хвилі.

По мірі віддалення від джерела ($L \uparrow$) радіус кохерентності зростає ($r_K \uparrow$).

- Оцінимо r_K прямого сонячного світла: $L = 150$ мік.км; $h = 0.7$ мік.км; $\lambda = 0.5$ мік.м $\Rightarrow r_K = 10^{-2}$ см = 0.1 мік.
- Для розсіяного сонячного світла (камрикад, світло в хмарний день): $L/h \approx 1$; $\lambda = 0.5$ мік.м $\Rightarrow r_K \approx \lambda \approx 10^{-4}$ см
- Промінь лазера може бути кохерентним по всому когерентному періоду лазерного променя. Для отримання голографів можна використовувати широкі лазерні промені з $r_K \approx 1$ м.

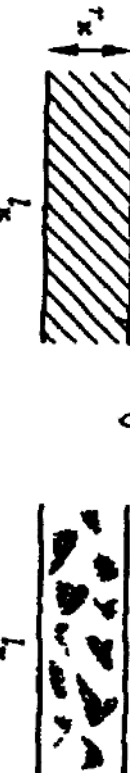
Спекл-структурные излучения в момент характеристика ионного коррентных структур



Спекл-структуры
излучения
ионных
коррентов

a)

Некоррентное излучение
спекл не убывает



а)
но пространственное
распределение излучения

Изменение I_x
по l_x исп. ион.

a)

b)

спекл-излучение
имеет вид



в некол. спекл имеет спектральный, дифракт. по времени размешенный спекл. Металлическая пластина содержит ионные корренты ($l_x \rightarrow \infty$,
 $I_x \rightarrow \infty$) - гл. пис. а.